

76.3
173

有色金属电热熔炼

[德意志民主共和国]格奥尔格·叶格尔 主编

刘富如译

中国工业出版社

本书对电热法制取銅、鎳、鈷、錫、鉛、鋅、鎂、鋁和鋁合金的冶炼过程及设备作了詳細叙述。

在銅、鎳、鈷、鉛及錫各篇中介紹了各金属电热熔炼的历史发展概况，生产过程的特点及采用的炉子结构特点等。詳細叙述了阴极鋅板在感应电炉内重熔和制取鋅粉的过程，以及电热法炼鋅现状。此外还介绍了关于电热法制取鎂、鋁及其合金的理論和实践的資料。

本书可供有色冶金工厂、科研和設計部門的技术人員使用，并可供给有关院校的师生参考。

原书德文版是1956年在来比錫出版的，为格奥尔格·叶格尔主编的多卷著作《工程电化学手册》的第三部分 (Georg Eger, « Handbuch der technischen Elektrochemie » 3 Teil, Leipzig 1956)。苏联И.Т.古里金与Б.И.斯罗姆斯基将该书譯成了俄文，并于1958年由苏联冶金出版社出版 (И.Т.Гульдин и Б.И.Слонимский « Электроплавка в цветной металлургии » Металлургиздат, 1958)。本书是由俄文譯本轉譯的，并参照德文原书作了校閱。

全书由刘富如同志翻譯，由未名同志參照德文原书作了校閱。

有色金属电热熔炼

刘富如 譯

*

冶金工业部科学技术情报产品标准研究所书刊編輯室編輯

(北京灯市口71号)

中国工业出版社出版(北京东城区路丙10号)

北京市书刊出版业营业登记证字第110号

中国工业出版社第三印刷厂印刷

新华书店北京发行所发行·各地新华书店經售

*

开本850×1168 1/32 · 印张9 1/8 · 挿頁1 · 字数214,000

1964年11月北京第一版·1964年11月北京第一次印刷

印数0001—3,810 · 定价(科六) 1.40元

*

统一书号: 15165 · 3269 (冶金-539)

目 录

铜、镍、钴与铅

教授、博士、工程师 奥托·巴尔特 斯德哥尔摩城

I 铜、镍与铅的冶金基础	1
1. 铜	1
2. 镍	4
3. 铅	4
II 铜、镍与铅矿的熔炼	5
1. 铜矿反射炉熔炼与电炉熔炼的比較	5
2. 反射炉熔炼与电炉冶炼过程的比較	8
3. 炉渣及其电导率	9
4. 铜精矿及镍精矿熔炼电炉的历史发展	15
5. 电炉形状与电极布置	26
6. 电炉变压器	28
7. 导电母線、电缆及接触頰板	29
8. 自燒結电极	31
9. 测量仪表	37
10. 电气装置的效率	38
III 电炉结构部件	39
1. 炉基	39
2. 炉壳	40
3. 电炉支架	41
4. 炉衬	41
5. 炉頂	43
6. 排气道	43
7. 加料装置	44
8. 熔体放出装置（放出口）	45
9. 电炉结构的其他部件	46

IV 电炉的开炉运转	47
1. 一般規則	47
2. 电炉的运轉	50
V 电炉熔炼产品	54
1. 銅锍及銅鎳锍	54
2. 炉渣	55
3. 炉气	57
VI 补充的生产数据	57
1. 熔炼量与能量消耗	57
2. 电炉的热平衡	59
3. 生产故障	61
4. 在史干底那維亞半島上已建成的电炉一覽表	64
5. 电炉熔炼費用	64
VII 鎳矿的熔炼	65
1. 硫化矿的熔炼	65
2. 硅镁镍矿的熔炼	68
3. 氧化亚镍的还原	69
VIII 含钴矿石及炉渣的熔炼	69
1. 一般状况	69
2. 氧化钴还原成金属钴	73
IX 死烧后铜精矿还原熔炼成粗铜	74
X 铅精矿的熔炼	75
XI 粗铜及废杂铜的精炼。电炉重熔铜阴极板	78
1. 铜的精炼。基本原則	78
2. 电炉精炼	80
3. 阴极铜的重熔	83
XII 应用前景	92
参考文献	93

錫

博士、工程师 柯拉多·费兰德·根特(比利时)

I 緒言	95
------	----

II	基本原理	96
1.	电流的热作用	96
2.	锡的物理性质与化学性质	97
3.	火法炼锡方法概述	98
III	发展简史	100
IV	技术现状	103
1.	还原炉	103
2.	收尘	109
3.	炉渣的处理	109
4.	在斜底炉(熔析炉)内精炼锡	111
5.	锡最后精炼用的锅	113
V	生产评价及结论	117
	参考文献	119

电炉重熔锌阴极板

博士、工程师 鲍乌尔·皮别尔 博胡姆城

I	电解锌厂的重熔电炉	120
1.	在马格德堡锌厂之前的阴极锌重熔炉	120
2.	设计马格德堡锌厂时对重熔炉的选择	120
3.	重熔车间概述	123
II	低频感应炉的构造	129
1.	工作原理, 所装设的炉子构造与性能	129
2.	电炉变压器的构造、砌衬及冷却	133
3.	炉子的装料	137
4.	炉子的操作, 电盘, 测量仪表	138
III	低频感应炉的运转及其技术指标	140
1.	开炉、冻结后炉子的加热、保持热状态、停炉及炉子的照应 ..	140
2.	工作经验及对炉子的改进	142
3.	生产数据、烧损	145
IV	重熔炉的辅助设备	148
1.	浇铸装置	148
2.	气体与烟尘的排出	149

3.	重熔鋅車間的变电站	150
V	阴极鋅重熔車間的附属装置	150
1.	鋅浮渣的处理	150
2.	雾化鋅裝置	152
VI	結論	155

电热法炼鋅

博士 G.标林格 斯德哥尔摩城

I	概論	157
1.	緒言	157
2.	反应物的物理性质	157
3.	碳还原氧化鋅反应的机理	160
4.	热力学前提	161
5.	反应速度	167
6.	鋅蒸气的冷凝	168
7.	鋅粉的生成	170
8.	各种冷凝法	171
9.	还原氧化鋅的能量消耗的計算	171
II	发展簡史	172
1.	电热炼鋅的优越性	172
2.	科烏尔斯兄弟的試驗	173
3.	各种旧的生产方法	175
4.	馬克-約翰逊法	177
5.	依姆別爾特-湯姆逊-非茨热拉尔德的工作	179
6.	科特与別伦法	180
7.	斯乃德尔的試驗	180
8.	在加拿大做的試驗	184
9.	P.別哲爾逊的試驗	184
10.	富爾頓的工作	184
11.	其他更晚的方法	185
III	拉瓦爾及其追随者的方法	186
1.	发展簡史	186

2. 后来的改进	189
IV 圣-約瑟夫鉛公司法	197
1. 緒言	197
2. 原料	200
3. 焙燒車間	201
4. 烧結車間	201
5. 浸出車間	202
6. 蒸餾車間	203
7. 氧化鋅制取車間	208
8. 現有的工厂	209
V 新澤西鋅公司的斯捷鈴法	210
VI 鋅蒸气的冷凝	214
1. 基本原則	214
2. 鼓泡冷凝器	214
3. 飛濺冷凝器或噴霧冷凝器	216
VII 冶金中間产品的电热处理	219
1. 鉛渣的电热法脫鋅	219
2. 用电热法从浮渣提炼鋅粉	221
参考文献	222

电热法炼铝及其合金

教授、博士、工程师 G. 格因茲別尔格与
博士、工程师 P. 外斯 波恩城

I 历史概述	223
II 理論部分	225
III 鋅合金的生产	235
1. 技术状况	235
2. 鋅硅合金的制取	237
3. 經濟	241
IV 从电热法炼出的鋅合金提取鋅	245
1. 用蒸餾法从鋅合金提取鋅	245
2. 用其他金属从鋅合金提取鋅	247

3. 通过低价化合物从铝合金提取鋁	256
V 用低价鋁化合物法从氧化鋁直接炼鋁	260
参考文献	263

鎂

博士、工程师 E. 包埃尔 美因河，法兰克福城

I 緒言	265
II 热还原氧化鎂	266
1. 碳还原法	266
2. 硅或硅铁还原法	270
3. 碳化钙还原法	276
4. 鋁还原法	278
III 各种方法的比較	280
参考文献	284

銅、鎳、鈷与鉛

教授、博士、工程师 奥托·巴尔特 斯德哥尔摩城

I 銅、鎳与鉛的冶金基础

1. 銅

世界上所产的銅绝大部分是从硫化矿制得的，主要是从黃銅矿 CuFeS_2 制得的。伴生的矿物通常为硫化鐵矿、即黃鐵矿 FeS_2 ，以及近似地符合于 FeS 成分的磁黃鐵矿。在大多数情况下，除了硅酸脉石之外，还具有不定含量的閃鋅矿及方鉛矿，貴重金属，以及鎳、鈷、砷、錫、銻、硒、碲的化合物。

块状矿石直接入鼓风炉熔炼，例如在塔姆斯哈夫恩（挪威）含 2.2% Cu 的奥尔克尔黃鐵矿或来自艾尔干尼·馬頓（土耳其）的含 8~10% Cu 的硫化鐵矿便是如此处理的。而绝大部分硫化矿则經浮选富集，然后将含 15~28% Cu 的精矿送入反射炉熔炼。无论在反射炉内或鼓风炉内的熔炼产物均为銅锍（冰銅），即 FeS 及 Cu_2S 与不定含量的磁性氧化鐵的混合物；磁性氧化鐵 Fe_3O_4 的含量随銅锍含銅量的增加而减少。从鼓风炉炼出的銅锍还可能含有金属鐵。

在鼓风炉内熔炼块状矿石有时还与制取硫黃相联系。此熔炼法（奥尔克拉法）已在塔姆斯哈夫恩（挪威）、里奥-梯因托（西班牙）及圣-多民果（葡萄牙）实现。銅锍含銅量波动在 10~50% 的范围内，大部分为 35~40%，也有达到 80% 的（罗恩-安帖洛普，北罗德西亚）。

由于电炉在某些方面按反射炉的原则工作，故以下将主要叙述反射炉熔炼。浮选精矿的反射炉熔炼按两种方法实行。

預焙燒的熱精礦的熔煉

為了從約含 20% Cu 的精礦煉出含 35~40% Cu 的銅锍，精礦中一部分硫應預先用焙燒法除去。在焙砂中剩餘的硫要足以形成預期成分的銅锍。由 FeS 在焙燒時生成的 Fe_2O_3 或 Fe_3O_4 必須在熔煉時變為 FeO ，後者與 SiO_2 形成鐵橄欖石爐渣。焙燒在多層焙燒爐內進行，大部分為威基式爐。焙砂在 500~600°C 時從焙燒爐卸出，並在熱狀態下加入反射爐，同時加入熔劑（石英、石灰）、液態轉爐渣以及在工廠生產中總會生成的返料，煉成預期成分的銅锍。所必需的設備是焙燒爐與其附屬的電收塵裝置以及反射爐。

未焙燒的濕精礦的熔煉

由於浮選技術的提高，使目前已經可以獲得含 28% Cu 的精礦（純的黃銅礦含 36.4% Cu），因而用這種精礦可以不經焙燒而煉出含 30~35% Cu 的銅锍。此法的優點在於不需要焙燒爐及收塵設備，亦即減少了一道工序。含水分約 10% 的冷精礦沿側牆直接加入反射爐內，並加入熔劑、液態轉爐渣及返料煉出銅锍。

銅锍的處理

銅锍在鎂磚衬裡的轉爐內吹煉成粗銅。

在吹煉的第一周期加石英使鐵造渣。此時銅锍中的 FeS 變為鐵橄欖石爐渣 $2FeO \cdot SiO_2$ ；將這種渣小心地從爐內傾出，由於它含銅達 3~4%，在將它在液態時便返回到反射爐內。

留在轉爐內的 Cu_2S ，即所謂白冰銅，于第二周期吹煉成粗銅（也稱為轉爐銅）。若精礦及銅锍含有相當多量的伴生金屬，如錫（在加入再生銅料時）、鉻、砷、鎘等，則在反射爐內煉成低品位銅锍，以便靠延長吹煉時間來保證上列金屬在轉爐內能大部分揮發。

吹炼低品位銅锍时还能在轉炉內处理大量冷料，利用轉炉作为一熔炼設備。轉炉銅通常在液态下加入阳极炉精炼并鑄成阳极。阳极板送去电解，而所得到的阴极銅則在反射炉或电炉內熔化，然后浇鑄成块錠、綫錠等等。阳极銅中的杂质在电解时部分进入电解液 (Ni、As)，部分进入阳极泥 (Au、Ag、Te、Se、Bi)。非常純淨的、不含貴金属及鉍的轉炉銅經火法精炼之后可作商品銅使用。

上述两种熔炼方法的比較

熔炼预先焙烧过的热精矿具有下列优点 煤耗較小，每吨炉料約 150 公斤，当預热空气时为 120 公斤，相当于每吨炉料 $0.8 \sim 1.1 \times 10^6$ 千卡，或在減去从废热利用鍋炉中所得蒸气的热量后約为 0.6×10^6 千卡；单位处理量較大：每昼夜每平方米炉膛面积 $3 \sim 5$ 吨；銅锍含銅量可在很大的范围内变动；反射炉炉气含硫少： $0.1 \sim 0.3\%$ (体积百分数)；冶炼过程平稳；焙烧炉的 SO_2 气浓，并易于被利用。

这种熔炼法的缺点是：分有焙烧及熔炼两道生产过程；收尘设备容积大；磁性氧化鐵在反射炉炉底沉积。

熔炼未焙烧的生精矿具有下列优点 只有一道生产过程（无焙烧过程）；设备較简单；在反射炉中鐵酸盐生成作用較弱。

这种熔炼法的缺点是：燃料消耗較大，每吨炉料 約 200~240 公斤，相当于每吨炉料 $1.5 \sim 1.8 \times 10^6$ 千卡，或在減去从废热利用鍋炉中所得蒸气的热量后約为 0.8×10^6 千卡；单位处理量較小，每昼夜每平方米炉膛面积 $2.0 \sim 2.5$ 吨；銅锍含銅量取决于精矿含銅量，約等于 $1.3 \times \text{Cu}$ (精矿中的 Cu 含量)；反射炉炉气含硫高，为 $2 \sim 4\%$ (体积百分数)；炉气难于消毒，其中所含的硫难于利用；由于炼生料，熔炼过程不平稳。

从上述的比較可看出，在选择熔炼方法时，下列两因素具有决定意义：煤耗量及反射炉含硫炉气消毒处理是否有必要。

采用这两种熔炼法时，在反射炉之后都裝設废热利用鍋炉，

全过程所消耗的热量的 35~45% 在其中呈蒸气状态得到回收。

2. 镍

世界上約 90% 的镍是由硫化矿炼出的。主要的硫化镍矿物为镍黄铁矿 (Fe, Ni)S，即含镍磁黄铁矿，但它总与黄铜矿一起被发现。这种硫化镍铜矿的处理在第一阶段与硫化铜矿的处理无甚区别。矿石（而更多的是浮选精矿）经过焙烧后入反射炉熔炼。有时将矿石烧结后送入鼓风炉熔炼。在这两种情况下熔炼出的第一次产品都是一般含 15~30% $Ni + Cu$ 的铜镍锍。它在转炉内吹炼成不含铁的铜镍高锍，其中约含 50~60% Ni, 30~40% Cu, 0.2~1.0% Fe，余者为硫。此铜镍高锍即为炼镍原料。后面的炼镍工艺过程首先是使铜与镍分离。铜镍分离的方法可举出下列几种：带隔膜电解法，用一氧化碳使镍呈羰基 $Ni(CO)_4$ 挥发分离的蒙德法，或按染料工业（现在路易港的巴敦苯胺-苏打厂）的高压法使铜镍分离。

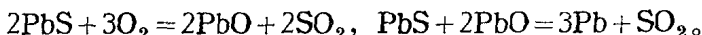
与硫化镍矿相反，氧化镍矿不含铜。氧化镍矿中最重要的硅镁镍矿为一镍镁硅酸盐。它经细磨后与石膏混合压成团，然后在鼓风炉内熔炼成镍锍。后者在不大的转炉内加石英吹炼使铁造渣。吹炼得到镍高锍，含 77~78% Ni, 0.2% Fe，余者为硫。镍锍经细磨后在反射炉内死烧。所得的焙砂 NiO 压成小块立方体或制成丸状，并与木炭一起在蒸罐中加热到 1300°C，氧化亚镍即被还原成金属镍（结块镍）。氧化亚镍也在电炉内还原成金属，且在氧化亚镍中可能含有的硫用造高钙渣法去除。熔融的镍浇铸成块或水碎成镍粒。

另一熔炼方法是在电炉内直接还原硅镁镍矿而得到铁镍合金。铁镍合金即可如此直接使用，或者将它在不大的转炉内吹炼使铁转入渣中。吹炼所得的镍铸成阳极，然后进行电解精炼。

3. 铅

与镍、铜相类似，全世界所产出的大部分铅是自硫化矿制得

的。最重要的硫化鉛矿物为方鉛矿 PbS 。很富的鉛精矿，特別是当其滿足一定的物理条件要求时，可用臘式炉反应熔炼法处理，这是利用 PbS 、 $PbSO_4$ 及 PbO 之間的相互反应直接获得鉛。



由于所有上述反应都在低于 $1000^{\circ}C$ 下进行，因而得到很純的鉛。这种鉛若不含銀或含銀少时即为商品鉛。精矿中的脉石不熔化，而形成含达 $30\% Pb$ 的粘稠状物（灰渣）。相当大的一部分鉛呈 PbS 状揮发并进入烟尘。因此，用該法生产时鉛的直接回收率仅为 $60\sim70\%$ ，而 $30\sim40\%$ 的鉛則在炉渣及烟尘內循环。

除了这一仅有狭小应用范围的方法之外，广泛采用着还原熔炼法，它分两阶段进行：首先尽可能完全地将 PbS 焙烧成 PbO 。目前仅采用燒結焙烧法，通常在带式燒結机上进行，且将鼓风炉冶炼时所必需的熔剂也加入燒結料中。

含鉛不超过 50% （一般低于 40% ）的鉛燒結块和加入量为 $8\sim12\%$ 的焦炭在鼓风炉內炼出粗鉛。与在臘式炉內不同，在鼓风炉內由于高溫而使部分含于精矿中的杂质还原并使粗鉛污染。

鑑于在鼓风炉熔炼的溫度下 PbS 及 PbO 的蒸气压力高，因而尽可能造低熔点炉渣。众所周知，炉渣熔化溫度是决定着鼓风炉工作溫度的。鈣-鐵橄欖石渣（請看图 2）即为这种低熔点炉渣，但由于其中含 FeO 高而对 PbS 及 Pb 有較高熔解能力。粗鉛然后在反射炉內精炼或用碱法精炼。用鋅脫銀，而最后再脫鋅。

I 銅、鎳与鉛矿的熔炼

1. 銅矿反射炉熔炼与电炉熔炼的比較

由于熔炼銅精矿或鎳精矿的电炉在替代着反射炉，所以有必要将两者作一相互比較。反射炉是长方形的炉子，长达 50 米及

寬达9米（图1）。在其一端裝有燃烧設備，大多数烧粉煤，有的烧重油或气体燃料。在燃烧設備內装有三个粉煤燃烧器1。热炉气4通过与废热鍋爐直接相連的豎烟道排出爐外，然后进入烟囱。炉料3經加料斗进入爐內。爐料覆盖的爐底長度地段，占爐底長度的50~65%，这一段区域即为《熔炼带》，而爐子的剩余部分，即尾部，作聚集及分离爐渣与銅锍之用，以及作放渣之用。

热量的传导：1) 借助于热炉气的对流；2) 一部分借助热炉頂的輻射，一部分借助火焰的輻射。因而热流从上向下运动：炉气—精矿—爐渣+锍。每燃烧1公斤煤有10~15标米³的燃烧气体及反应气体通过反射爐。在1100~1300°C下从爐內排出的炉气热量，約30~45%可在废热鍋爐内呈蒸气状回收。因此平均可按每公斤煤得到4公斤蒸气計算。显然，反射爐与蒸气鍋爐的联合大大提高了反射爐熔炼的經濟性。

电炉可以具有圆形、椭圆形或长方形的形状。为了与反射爐作比較，我們选述最后的一种。电极5（此处为6根）自爐頂通入（見图1），于是电炉成为三个具有共同熔炼空間的单相电炉的联合体。电极插入渣层中，其下沉深度决定于爐子的电压及功率，同时也决定于爐渣的电导率，而爐渣电导率又决定于爐渣成分及其溫度。

与反射爐相仿，精矿3通过加料斗2加入电炉內并浮于渣面上。通过电极輸入电炉的电能，在渣层內按下列公式变为热能：

$$Q = I^2 \times R \times t \times 0.239,$$

式中 Q —— 热量（卡）， I —— 电流强度（安培）， R —— 总电阻（欧姆）， t —— 时间（秒）。

在爐渣中产生的热量只借热传导及对流作用传給浮在渣面上的精矿。由于热量的放出及由此而产生的溫度上升值在直接与电极相近处最大，因而爐渣从电极向爐墙的方向循环运动，热量靠对流作用由流动着的爐渣传給爐料。反应生成的气体与吸入的空气以及爐料水分蒸发出来的水蒸气一起經烟道4排出。在电炉內

热流的传导則从下向上（炉渣—精矿—气体）进行。炉气量比在相同尺寸的反射炉内少。气体溫度为400~600°C，因而在这种情况下利用气体的热量无实际意义。由于电炉炉气量較少，气体較易在电收尘器内淨化除尘。如此可回收含于烟尘中的有用組分，其价值在一定条件下将不低于反射炉废热鍋炉所产蒸气的价值。

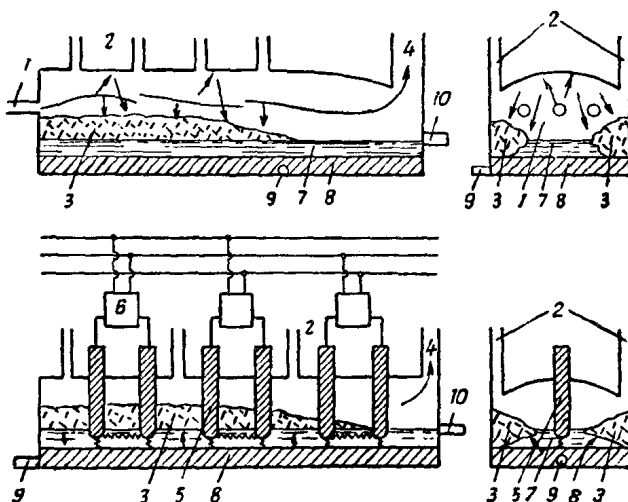


图1 精矿熔炼反射炉及电炉原則示意图

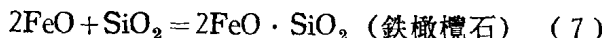
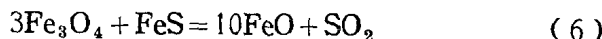
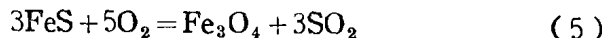
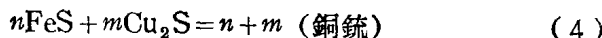
1—燃烧器；2—加料斗；3—炉壁；4—排出之气体；5—电极；
6—变压器；7—炉渣；8—铜锍；9—放铜锍口；10—放渣口

由于与反射炉相仿，电炉靠近出渣口部分应起前床作用，但該部分与在反射炉内不同，无燃烧气体加热，因而必須靠电加热。与最末尾的一个变压器相連接的一对电极即作此用。在該处炉渣內的湍流現象应減到最小。电加热法使在炉子末端加入促使渣含銅降低的各种添加剂成为可能。

由于大部分电能从电极末端通过渣层导向导电性高的銅锍，所以在該处产生最大的热量，因此电炉銅锍的溫度比反射炉銅锍的溫度高50~100°C。由于同样的原因，电炉不同于反射炉，电炉不是安在整块的基础上，而安在基柱上，使炉底由空气冷却。

2. 反射炉熔炼与电炉冶炼过程的比较

如果在燃煤反射炉内熔炼未經焙烧的湿銅精矿，則在炉内发生下列反应：

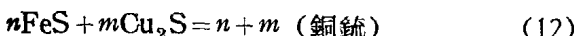
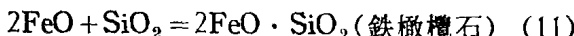
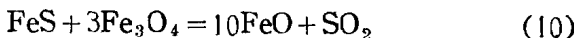
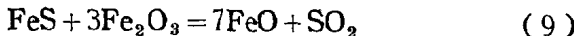
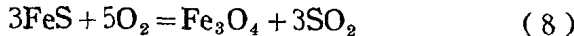


反应 (5) 为次要反应，而且这个反应的进行程度与在炉气中氧的含量有关。

含 25% Cu 的銅精矿含有 72.2% CuFeS₂, 22.8% FeS₂, 5% SiO₂，或者是 25% Cu, 32.6% Fe, 37.4% S，并在理論上能产出含 30.3% Cu 的銅锍。借助于反应 (6)，同时也借助于随轉炉渣进入反射炉的磁性氧化鐵的作用，銅锍含銅約增至 33%。

在电炉内熔炼未經焙烧的湿精矿时，反应 (5) 实际上不发生。反应 (6) 則相反，由于轉炉渣中磁性氧化鐵的存在而进行。用上述成分的精矿在电炉内炼出的銅锍在理論上可含 30.3% Cu，而在实际上約含 32% Cu。

如果在反射炉内熔炼經過焙烧并由 Cu₂S、FeS、Fe₂O₃、Fe₃O₄ 及 SiO₂ 組成的热精矿或冷精矿，则发生下列反应：



反应 (8) 为物料在炉内的补充焙烧反应，它与炉气中氧的浓度有关。反应 (9) 与 (10) 极其重要，因为它们使在焙烧时

生成的 Fe_2O_3 及 Fe_3O_4 分解成 FeO , 即变为唯一能与 SiO_2 形成铁橄榄石渣的铁氧化物。

如果上面提及的含 25% Cu 的精矿如此焙烧, 使全部铜及一半铁与硫结合, 而各四分之一的铁处于 Fe_2O_3 及 Fe_3O_4 状态, 则从 100 公斤精矿可以得到 84.8 公斤含 29.5% Cu, 38.4% Fe, 18.4% S, 7.8% O_2 , 5.9% SiO_2 的焙砂。从这种焙砂将得到含 46.9% Cu 的锍。由于反应 (8), 同时也借助于转炉渣中磁性氧化铁的作用, 铜锍含铜量约增至 50%。在电炉内熔炼焙砂时, 除反应 (8) 不发生之外, 也发生与在反射炉内熔炼时相同的反应, 因而所得铜锍稍贫, 约比在反射炉内熔炼同样物料时低 1%。

必须注意到, 在燃煤反射炉内熔炼时炉气中之硫不可能得到回收, 且炉气对周围地区的有害影响无合理的方法消除。在电炉内则由于没有燃烧气体而得到含 SO_2 这样富的炉气, 以致从它们可以容易地制出硫酸、二氧化硫或元素硫。

3. 炉渣及其电导率

所有铜精矿都含有相当数量呈 FeS 或 FeS_2 状存在的铁, FeS 及 FeS_2 在处理过程中发生氧化, 最后应呈 FeO 状转入铁橄榄石渣 $2\text{FeO} \cdot \text{SiO}_2$ 。

在熔炼生料时实际上全部铁都先呈 FeS 状转入铜锍。铜锍在转炉内进一步受处理时, FeS 再同加入的石英造成转炉渣:



当熔炼经过焙烧的物料时, 根据所生产的铜锍品位高低的不同要求, 使相应部分的铁先在焙烧炉内氧化成 Fe_2O_3 或 Fe_3O_4 , 而后在熔炼炉内氧化成 FeO 转入铁橄榄石渣。只有极少量的铁呈 FeS 状态转入铜锍, 然后按反应 (13) 转变成铁橄榄石渣。含 3~4% Cu 的转炉渣呈液态加入反射炉或电炉, 在炉内借助与 FeS 起的反应及澄清作用, 其含铜量下降, 因而即可视作废渣。因此反射炉炉渣首先应该满足下述要求: 具有低的熔点; 小的粘